

Clave de convenio: C/PFCE-2019-11MSU0013Z-06-17

Proyecto: Impulsar la competitividad académica de la DES Campus Guanajuato atendiendo la pertinencia y calidad oferta educativa

Clave de Proyecto: P/PFCE-2019-11MSU0013Z-04

1.- Valoración General del avance o cumplimiento académico del proyecto

Mediante la participación de la comunidad académica de la DES campus Guanajuato y la dirección de la responsable de la DES, Rectora del Campus se obtuvieron logros en el avance de indicadores académicos, en donde destacamos lo siguiente: En lo que respecta a la capacidad académica de la DES se destacan que de los 447 PTC, 368 tienen el grado de doctor, lo que representa el 82.32% superando la media nacional; a su vez 358 de ellos cuentan con el perfil deseable lo que representa un incremento con respecto al año anterior del 2% ubicándose en el 80%. A su vez el indicador que nos señala la adscripción al S.N.I. cuenta con 242 profesores que indica un 54.14% de los académicos en dicho sistema, mismo que se ubica por encima de la media nacional. Es de destacar que aún con la reducción en el apoyo económico recibido, la DES mantiene sus indicadores de capacidad en niveles de primeros lugares con respecto a los indicados en la estadística de educación nacional; atendiendo a las indicaciones de la responsable del proyecto de la DES, se continúa con los trabajos que permitan elevar los niveles de los indicadores académicos de este rubro. Los Cuerpos Académicos de la DES siguen manteniendo un incremento en su grado de consolidación, para ello se cita su integración y composición de estos que se encuentran consolidados: 1. Estudios y Producción en Artes Visuales 2. Dinámicas Territoriales. 3. Teorías Estéticas 4. Musicología 5. Estudios Organizacionales. 6. Diseño y Cultura 7. Economía 8. Macroeconomía Aplicada y Métodos Cuantitativos. 9. Organización y Gestión de la Calidad. 10. Ciencia y Tecnología Ambiental y de Materiales. 11. Diseño y Simulación Numérica de Procesos Unitarios. 12. Química Analítica Ambiental y de Procesos Industriales. 13. Electroquímica Ambiental. 14. Química y Tecnología del Silicio 15. Síntesis Orgánica 16. Química Teórica y Computacional, Química Heterocíclica y Físicoquímica de Polímeros. 17. Preparación, Procesamiento y Caracterización de Materiales Catalíticos y Cerámicos. 18. Respuesta Celular al Estrés 19. Glicobiología de Eucariontes con énfasis en Hongos y Protozoarios. 20. Aspectos Fundamentales y de Biotecnología de Microorganismos y Plantas. 21. Biología Celular y Molecular de Microorganismos Patógenos de Interés Biomédico. 22. Farmacología y Toxicología. 23. Astrofísica Extragaláctica. 24. Física Estelar 25. Filosofía Social 26. Filosofía Contemporánea 27. Educación en la Cultura, la Historia y el Arte. 28. Estudios Literarios- Configuraciones Discursivas y Poéticas. 29. Lingüística Aplicada a la enseñanza del inglés. 30. Democracia, Sociedad Civil y Libertades. 31. Materiales y Optimización de Procesos en las Ingenierías. 32. Bioingeniería, Biotecnología y Gestión Ambiental. 33. Investigación en Ciencias Básicas y Aprendizaje de la Física. 34. Ciencia y Tecnología del Agua Respecto al desarrollo integral del estudiante que se maneja como el objetivo primordial del proyecto, se tienen avances relevantes, aunque se reconoce que aún no son los óptimos, para ello se cita que se cuenta con un índice de titulación de licenciatura del 19.64% superando al del año anterior, en el renglón de egreso de licenciatura se tiene un porcentaje de 74.82 % que igualmente supera al valor alcanzado en el 2018. Siguiendo con la competitividad académica y con relación al desarrollo integral del estudiante, en el rubro de la calidad de los programas educativos se cuenta con el grado de calidad de los siguientes PE: 1. Licenciatura en Arquitectura 2. Licenciatura en Artes Visuales 3. Licenciatura en Diseño de Interiores 4. Licenciatura en Música 5. Licenciatura en Administración de la Calidad y de la Productividad 6. Licenciatura en Administración de Recursos Turísticos 7. Licenciatura en Comercio Internacional 8. Licenciatura en Contador Público 9. Licenciatura en Economía 10. Licenciatura en Relaciones Industriales 11. Licenciatura en Sistemas de Información Administrativa 12. Licenciatura en Enfermería y Obstetricia (Guanajuato) 13. Licenciatura en Ingeniería Química 14. Licenciatura en Matemáticas 15. Licenciatura en Química 16. Licenciatura en Químico Farmacéutico Biólogo 17. Licenciatura en Educación 18. Licenciatura en Enseñanza del Inglés 19. Licenciatura en Filosofía 20. Licenciatura en Historia 21. Licenciatura en Letras Españolas 22. Licenciatura en Derecho 23. Licenciatura en Ingeniería Ambiental (Civil-Minas) 24. Licenciatura en Ingeniería Civil 25. Licenciatura en Ingeniería de Minas 26. Licenciatura en Ingeniería en Geología 27. Licenciatura en Ingeniería Geomática 28. Licenciatura en Ingeniería Hidráulica 29. Licenciatura en Ingeniería Metalúrgica Superando en 4 programas educativos a lo reportado en el 2018.

2.- Problemas atendidos

Atendiendo a la petición y al compromiso social de incremento de matrícula en la Universidad de Guanajuato, la DES pasó de una matrícula de 11,920 en 2018 a 12,310 al cierre del año 2019, lo que representa un aumento significativo de 1,120 estudiantes. Se encuentran en un 94.87% los programas educativos que operan bajo el Modelo Educativo de la Universidad de Guanajuato, derivado de los esfuerzos que al interior de las divisiones se han implementado para lograr que al año 2020 se cuente con el 100% de este operando bajo este modelo. Referente al lento proceso de consolidación de los Cuerpos Académicos de la DES se destaca que para el año 2019, un incremento del 36% en aquellos que tienen grado de consolidados. Referente al desarrollo integral del alumno la

DES se suma al Programa Institucional que tiene la finalidad de disminuir los índices de rezago escolar y ofrecer las mejores condiciones de desarrollo; mediante el arranque del Sistema de Acompañamiento Integral en la Trayectoria del Estudiante "Trayectoria ES UG". El sistema atiende puntos referentes al pase regulado, becas, movilidad, tutoría, servicio social, multimodalidad educativa y servicios de apoyo al estudiante, los cuales se han flexibilizado y adaptado a las necesidades de la comunidad universitaria. La inercia presentada en años anteriores con respecto a los Programas Educativos de Calidad modificó su tendencia al incrementarse en 9 programas educativos de licenciatura de calidad, lo que ubica que la matrícula atendida de calidad cerró con un porcentaje para el año 2019, lo que representa un 93.10%.

3.- Fortalezas aseguradas

Siguiendo con la tendencia de años anteriores en donde sus principales fortalezas se manifiestan en su capacidad académica, se reporta que se mantienen los siguientes indicadores, mismos que se encuentran por encima de la media nacional y en algunos casos dentro de los primeros cinco lugares del país; el porcentaje de PTC con doctorado en la DES es de 83.56%, a su vez el porcentaje de PTC's con reconocimiento PRODEP es de 78.22% y el porcentaje de PTC's con Nivel de S.N.I. es de 53.33%. La operatividad y consolidación del Modelo Educativo de la Universidad de Guanajuato, se encuentra en su última fase y se puede inferir que el logro de la meta del 100% al 2020 es factible al interior de la DES La movilidad académica en la DES se sigue manteniendo constante aún enfrentando el contexto social, económico y cultural del país y de los contextos internacionales, atendiendo a los criterios de reconocimiento de estudios o con validez en créditos académicos. El reconocimiento y aceptación social hacia la institución y en particular hacia la DES Campus Guanajuato, se mantiene con un nivel de aprobación superior al 95%. La DES Campus Guanajuato mantiene el liderazgo en la acreditación de Programas Educativos de licenciatura con reconocimiento internacional, con el 20% de estos con este reconocimiento. Otra fortaleza que señalar, es la de los CA de la DES que han incrementado su nivel de habilitación en el grado de consolidación, llegando al 50.82% del total de estos.

4.- Desarrollo y continuidad de programas educativos de calidad

El desarrollo y continuidad de los programas educativos de calidad de la DES se mantiene en un constante y paulatino crecimiento, en donde por la característica de la temporalidad en la vigencia del reconocimiento de la calidad, puede verse disminuido atendiendo a su periodo correspondiente, sin embargo al 2019 se cuenta con 29 programas educativos de licenciatura de calidad, todos con la acreditación de los organismos del COPAES, lo que representa un incremento de 3 programas con respecto al 2018. En lo referente a los Programas Educativos que cuentan con el reconocimiento de calidad de CIEES, se tuvo un decremento de 3 programas, derivado a lo comentado con anterioridad respecto de su vigencia, para ello se comenta que estos mismos PE ya se encuentran en trabajos de retomar el nivel 1 de este organismo. Con respecto a los PE de posgrado de calidad de la DES, también se observa un incremento en el reconocimiento de calidad de los mismos que pertenecen al PNPC, destacando que en el año 2018, veinticinco de estos PE contaban con dicho reconocimiento y para el 2019 aumenta a 29 PE.

5.- Atención a las recomendaciones de organismos evaluadores y/o acreditadores (CIEES, COPAES, PNPC, otros)

En este rubro la mayor parte de los recursos asignados a la DES por el PFCE, se centró en la atención a las recomendaciones de organismos evaluadores y acreditadores, pudiendo destacar la adquisición de equipamiento destinado a laboratorios, aulas de servicio al estudiante, áreas de estudio; la infraestructura académica de la DES se fortaleció modernizando los espacios académicos, culturales y deportivos que conllevan a una formación integral del estudiante a su vez se apoyó a los estudiantes en la movilidad nacional e internacional atendiendo al criterio de la validación de estudios y obtención de créditos. La recomendación de la implementación por parte de los organismos del Modelo Educativo se encuentra se encuentra en su fase de conclusión y al momento el 94.87% de los PE se encuentran en condiciones de operarlo. Igualmente se ha incrementado la oferta educativa atendiendo a la pertinencia de los PE a través de la consolidación de los Cuerpos Académicos.

6.- Contribución a la mejora de los indicadores planteados en el Anexo XIII del PFCE

Porcentaje de PTC con grado máximo de estudios de Licenciatura. de 16 en 2018 a 14 en 2019 (por jubilación). Porcentaje de PTC con grado máximo de estudios de Maestría, de 64 en 2018 a 63 (por incremento de grado). Porcentaje de PTC con grado máximo de estudios de Doctorado, de 366 en 2018 a 368 para 2019. Porcentaje de PTC con grado máximo de estudios de Posgrado en el área disciplinar de su desempeño, de 423 en 2018 a 430 para 2019. Porcentaje de PTC con grado máximo de estudios de Doctorado en el área disciplinar de su desempeño, de 360 en 2018 a 365 para 2019. Porcentaje de PTC con Perfil Deseable reconocido por el PRODEP (Tipo superior), de 352 en 2018 a 358 para 2019. Porcentaje de PTC con adscripción al SNI o SNC, de 235 en 2018 a 242 para 2019. Porcentaje de PTC con participación en el programa de tutorías, de 409 a 415 para 2019. Porcentaje de Cuerpos Académicos Consolidados , de 25 en 2018 a 34 para 2019. Porcentaje de Cuerpos Académicos en Consolidación, de 26 en 2018 a 17 para 2019. Porcentaje de Cuerpos Académicos en Formación, de 10 en 2018 a 11 para 2019. Porcentaje de PE de TSU y Licenciatura acreditados por organismos reconocidos por el COPAES, de 25 en 2018 a 29 para 2019. Porcentaje de matrícula atendida en PE de TSU y Licenciatura que cuentan con calidad reconocida, de 9,071 en 2018 a 9,847 para 2019. Porcentaje de PE de posgrado reconocidos por el PNPC, de 25 en 2018 a 29 para 2019. Porcentaje de PE de posgrado que están en el PFC, de 13 a 17 para 2019.

7.- Número de estudiantes y profesores beneficiados

Profesores Beneficiados

	Movilidad Académica		
	Nacional	Internacional	Total
Profesores de Tiempo Completo	90	105	195
Profesores de Medio Tiempo	11	9	20
Profesores de Asignatura	11	9	20
Total	112	123	235

	Alumnos Beneficiados				
	Movilidad Académica				Total
	Complemento de la formacion		Reconocimiento de créditos		
TSU/PA	Nacional	Internacional	Nacional	Internacional	
Licenciatura	67	77	108	85	337
Posgrado	12	31	0	0	43
Total	79	108	108	85	380

8.- Impacto en la modernización de la infraestructura (servicios de apoyo académico)

La modernización y mantenimiento de la infraestructura en laboratorios y servicios de apoyo académico de la DES se ve fortalecida con los recursos asignados de manera federal (gran parte recurso PFCE), estatal y recursos propios. Atendiendo en cada uno de estos, los lineamientos establecidos para el ejercicio correcto del gasto. Lo anterior dando prioridad a los criterios de pertinencia y necesidades reales que la sociedad y comunidad académica requieren. Además, en la parte de infraestructura física para lo cual se contaron con pocos recursos, es importante destacar la culminación de la fase 2 del edificio de laboratorios de la División de Ciencias Naturales y Exactas de la DES Campus Guanajuato, también se avanzó en la construcción de un tercer piso para el edificio de las Artes de la DES, en donde se proyectaron aulas que den servicio al incremento de la matrícula estimada para esta

9.- Impacto en la capacitación de los profesores y de los cuerpos académicos

La capacitación disciplinar es un tema importante con el objeto de que pueda integrar los conocimientos con métodos didácticos, enfocados en el desarrollo de la innovación educativa para los PE de la DES. A su vez el Diplomado de Modelo Educativo ha permitido que los profesores de tiempo completo conozcan y apliquen el modelo educativo, de tal forma que impacte en el 94.87% de los PE, para estar en condiciones de operarlo.

10.- Impacto en la formación y atención integral del estudiante

Para este rubro se gestionaron 1396 becas de apoyo a los estudiantes en las siguientes modalidades: Equidad Económica, Media Beca Alimenticia, Beca Completa Alimenticia, Comunidad Universitaria, Talentos deportivos y culturales, Atracción de Estudiantes Sobresalientes, Investigación y Vinculación. El programa de salud física proporciona atención médica de primer nivel a la comunidad universitaria del Campus Guanajuato en los diferentes módulos de enfermería distribuidos en las seis divisiones, atendiendo diversos eventos entre los que se pueden citar: consultas, valoración de salud física, medicación de Primer Nivel, otros procedimientos (Control de peso, toma de T/A, temperatura, medición estatura, DxTx, circunferencia, curaciones y primeros auxilios). El área de psicología ofrece a los estudiantes de manera confidencial y voluntaria el servicio de orientación psicológica individual, el cual es un proceso de orientación de 10 sesiones semanales de 50 minutos, y el servicio de atención grupal. Se cuenta con un Programa de nutrición que atiende en los siguientes puntos: - Actividades de promoción en salud alimentaria - Valoraciones de riesgo nutricio - Estudiantes en proceso de orientación alimentaria - Sesiones individuales de orientación alimentaria - Estudiantes con recomendaciones alimentarias generales - Canalizaciones En el ámbito del deporte y cultura física, el objetivo de este programa es Construir una cultura física a través del fomento de la activación física y la práctica del deporte por medio de la educación y el desarrollo de competencias y habilidades personales, es parte importante de la formación integral del estudiante. Para el tema relativo emprendedurismo, se ha desarrollado el proyecto Creativity Campus, que es un modelo de emprendimiento donde se realizan diversas actividades, con el objetivo de impulsar la creatividad y el potencial innovador de los estudiantes de la Universidad de Guanajuato por medio del desarrollo de las habilidades emprendedoras que incidan en la realización de proyectos de vida o de negocio.

11.- Producción científica

Libros

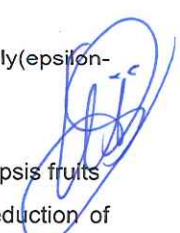
- 1.- Historiografías
- 2.- Historia y mirada en las crónicas de América
- 3.- Guanajuato y sus ciudades hermanas
- 4.- MODAL Software de Investigación para el Análisis Sísmico Modal

- 5.- A General Framework for Incompressible Fluids Coupled to Geometrically Nonlinear Solids, Membranes and Shells
- 6.- Becoming an English Teacher
- 7.- Análisis Estructural Básico en Ingeniería Civil
- 8.- Ética, epistemología y género
- 9.- Ética, epistemología y género
- 10.- Los modelos educativos en México:
- 11.- Derecho Constitucional Local
- 12.- Caracterización e impacto de los telebachilleratos comunitarios en Guanajuato
- 13.- Creación en el arte digital mexicano
- 14.- Caracterización hidrodinámica en grandes cuerpos de agua con aplicación al Lago de Chapala
- 15.- Vida sin fin, Gerhart Muench: pianista y compositor
- 16.- Las Ciencias Penales en la actualidad

Capitulos de Libros

No se han agregado Capitulos de Libros

Articulos

- 1.- Association of the 3' UTR polymorphism (rs11665896) in the FGF21 gene with metabolic status and nutrient intake in children with obesity
 - 2.- MATERNAL OBESITY AND ITS ASSOCIATION WITH PLACENTAL VILLOUS HYPOPLASIA AND DOPPLER ULTRASONOGRAPHY OF THE FETAL ABDOMINAL AORTA
 - 3.- Bioreduction of precious and heavy metals by Candida species under oxidative stress conditions
 - 4.- Phytochemical profiles and classification of Agave syrups using 1H-NMR and chemometrics
 - 5.- The bacterial diversity on steam vents from Paricutin and Sapichu volcanoes
 - 6.- Fluoroquinolones in agricultural soils: Multi-temporal variation and risks in Rio de Janeiro upland region
 - 7.- Bioreduction of precious and heavy metals by Candida species under oxidative stress conditions
 - 8.- J-PLUS: On the identification of new cluster members in the double galaxy cluster A2589 and A2593 using PDFs
 - 9.- Exergy analysis for energy integration in a bioethanol production process to determine heat exchanger networks feasibility
 - 10.- The intergalactic magnetic field probed by a giant radio galaxy
 - 11.- Gastric responses to acute psychological stress in climacteric women: a pilot study
 - 12.- Structural Properties and Luminescence Characteristics of Eu³⁺ Doped Lithium Triborate (LiB₃O₅) Phosphors
 - 13.- YwQL (EndoV), ExoA and PolA act in a novel alternative excision pathway to repair deaminated DNA bases in *Bacillus subtilis*
 - 14.- Mfd protects against oxidative stress in *Bacillus subtilis* independently of its canonical function in DNA repair
 - 15.- Synthesis of bimetallic nanoparticles of Cd 4 HgS 5 by Candida species
 - 16.- Self-treatment with herbal products for weight-loss among overweight and obese subjects from central Mexico
 - 17.- Discovery of short-term activity cycles in F-type stars
 - 18.- Influence of natural templates in the synthesis of nickel aluminate and the evaluation in methanol detection
 - 19.- A systematic study of macrodiols and poly(ester-urethanes) derived from omega,-hydroxy telechelic poly(epsilon-caprolactone) (HOPCLOH) with different ether [CH₂CH₂O]_(m) groups. Synthesis and characterization
 - 20.- Measurement of quasielastic-like neutrino scattering at ?3.5 GeV on a hydrocarbon target
 - 21.- New roles of NO TRANSMITTING TRACT and SEEDSTICK during medial domain development in *Arabidopsis* fruits
 - 22.- Bioreduction of precious and heavy metals by Candida species under oxidative stress conditions Bioreduction of
- 

- precious and heavy metals by *Candida* species under oxidative stress conditions
- 23.- Radio Galaxy Zoo: Claran - a deep learning classifier for radio morphologies
- 24.- Efficient photocatalytic activity of MSnO₃ (M: Ca, Ba, Sr) stannates for photoreduction of 4-nitrophenol and hydrogen production under UV light irradiation
- 25.- Variable stars in Palomar 13; an evaporating globular cluster
- 26.- Monte Carlo simulation of an associating fluid model to describe polymerization in polycaprolactone diols: The role of attractive sites of variable range
- 27.- Experimental and Numerical Study on Production Rate in Sewer Mainline Video Inspection
- 28.- Reduced *Trichomonas vaginalis* viability in mice pretreated with parasite DNA
- 29.- Neutron measurements from antineutrino hydrocarbon reactions
- 30.- *Candida parapsilosis*: from Genes to the Bedside
- 31.- Dielectric properties of pulque at different temperatures from 0.1 to 25 GHz
- 32.- Iodine(III)-Catalyzed Electrophilic Nitration of Phenols via Non-Brønsted Acidic NO₂ + Generation
- 33.- Computational study of GanAsm (m plus n=2-9) clusters using DFT calculations
- 34.- Synthetic Approach to Readily Accessible Benzofuran-Fused Borondipyrromethenes as Red-Emitting Laser Dyes
- 35.- Evolutionary Spiking Neural Networks for Solving Supervised Classification Problems
- 36.- Comminution effect on surface roughness and flotation behavior of malachite particles
- 37.- The role and efficacy of creative imagination in concept formation: A study of variables for children in primary school
- 38.- Ultrafiltration membranes modified by PSS deposition and plasma treatment for Cr(VI) removal
- 39.- A numerical analysis of the energy and entropy generation rate in a Linear Fresnel Reflector using computational fluid dynamics
- 40.- Multi-objective optimization of intensified processes for the purification of levulinic acid involving economic and environmental objectives
- 41.- Radio Galaxy Zoo: Observational evidence for environment as the cause of radio source asymmetry
- 42.- Air Dispersion and Bubble Characteristics in a Downflow Flotation Column
- 43.- A numerical analysis of the energy and entropy generation rate in a Linear Fresnel Reflector using computational fluid dynamics
- 44.- Characterization of new cyclic d,L-?-alternate amino acid peptides by capillary electrophoresis coupled to electrospray ionization mass spectrometry
- 45.- The mine tailings as construction material in the viceregal period: Case study in Guanajuato City, Mexico
- 46.- Rapidly evolving episodic outflow in IRAS 18113-2503: Clues to the ejection mechanism of the fastest water fountain
- 47.- Theoretical modeling and experimental validation of a small capacity diffusion-absorption refrigerator [Modélisation théorique et validation expérimentale d'un réfrigérateur à absorption-diffusion de faible puissance]
- 48.- Mussel-inspired Fe₃O₄@Polydopamine(PDA)-MoS₂ core-shell nanosphere as a promising adsorbent for removal of Pb²⁺ from water
- 49.- Comparison of metaheuristic optimization algorithms for dimensional synthesis of a spherical parallel manipulator
- 50.- Effects of the binding of a *Helianthus annuus* lectin to *Candida albicans* cell wall on biofilm development and adhesion to host cells
- 51.- Solar Radiation Model Applied to a Low Temperature Evacuated Tubes Solar Collector
- 52.- Comparison between Fenton and Fenton-like reactions for L-proline degradation
- 53.- Binding of Pb-Melatonin and Pb-(Melatonin-metabolites) complexes with DMT1 and ZIP8: implications for lead detoxification
- 54.- Exergoeconomic performance comparison of R1234yf as a drop-in replacement for R134a in a domestic refrigerator [Comparaison des performances exergo-économiques du R1234yf comme substitut immédiat au R134A dans un réfrigérateur domestique]
- 

- 55.- Safety, Economic, and Environmental Optimization Applied to Three Processes for the Production of Solar-Grade Silicon
- 56.- Expression of ChiA74 Delta sp and its truncated versions in *Bacillus thuringiensis* HD1 using a vegetative promoter maintains the integrity and toxicity of native Cry1A toxins
- 57.- Orbital evolution of the inner solar system towards the red giant phase of the Sun: Simultaneous production of axions and neutrinos with a non-zero magnetic dipole moment
- 58.- Synthesis, structural characterization, and activity on the transfer hydrogenation reaction of dimesitylacetone piano stool organometallic complexes of Ru(II), Rh(III), and Ir(III)
- 59.- Synthesis and characterization of a pair of O-_{Fac} /O-_{mer} 12-P-6 alkyloxaphosphates with a P-O-C-C four-membered ring
- 60.- Phytochemical profiles and classification of Agave syrups using H-1-NMR and chemometrics
- 61.- Populations and food stores of honey bee (*Apis mellifera*) colonies from three regions of Mexico's semiarid high plateau
- 62.- Matrix effect evaluation and validation of the 2,2'-azino-bis (3-ethylbenzothiazoline-6-sulfonic acid) radical cation scavenging assay, as well as its application using a tejate, an ancient beverage in Mexico
- 63.- Radio Galaxy Zoo: The Distortion of Radio Galaxies by Galaxy Clusters
- 64.- EFFECT OF CHEMICAL MODIFICATION OF TITANIUM DIOXIDE PARTICLES VIA SILANIZATION UNDER PROPERTIES OF CHITOSAN/POTATO-STARCH FILMS
- 65.- GMRT observations of the protostellar jet associated with IRAS 16547-4247
- 66.- Alkynyl Fischer Carbenes as a Platform for the Production of Difluorodiazaborinine Complexes via beta-Amino-azadienes
- 67.- Gender Role about Sexual Risk Behaviors in Mexican Youth
- 68.- Analysis of some immunogenic properties of the recombinant *Sporothrix schenckii* Gp70 expressed in *Escherichia coli*
- 69.- EL CORNO EMPLUMADO [THE PLUMED HORN]: ASCERTAINING THE INHERITANCE OF LOVE IN MALAY ROY CHOUDHURY AND OCTAVIO PAZ
- 70.- Biodiesel production using layered double hidroxides and derived mixed oxides: The role of the synthesis conditions and the catalysts properties on biodiesel conversion
- 71.- Kuznets meets Lucas: structural change and human capital
- 72.- BODIPY as electron withdrawing group for the activation of double bonds in asymmetric cycloaddition reactions
- 73.- Plant defensin gamma-thionin modulates the TLR2 pathway and histone deacetylase activity in bovine mammary epithelial cells infected with *Staphylococcus aureus*
- 74.- Full structural characterization of homoleptic complexes of diacetylcumcurcumin with Mg, Zn, Cu, and Mn: Cisplatin-level Cytotoxicity in Vitro with Minimal Acute Toxicity in Vivo
- 75.- Synthesis, characterization and cyclic voltammetry studies of helical carbon nanostructures produced by thermal decomposition of ethanol on Cu-foils
- 76.- Role of Arf-like proteins (Arl1 and Arl2) of *Mucor circinelloides* in virulence and antifungal susceptibility
- 77.- Effect of 6-benzylaminopurine and potassium nitrate on the in vitro micropropagation of *Laelia anceps* subsp. *anceps* (Orchidaceae)
- 78.- Polysialic acid is expressed in human naive CD4+T cells and is involved in modulating activation
- 79.- Differences in Faraday Rotation between Adjacent Extragalactic Radio Sources as a Probe of Cosmic Magnetic Fields
- 80.- Modeling of CoRoT and Spitzer lightcurves in NGC 2264 caused by an optically thick warp
- 81.- Analysis of a new spatial interpolation weighting method to estimate missing data applied to rainfall records
- 82.- Inherently Safer Design and Optimization of Intensified Separation Processes for Furfural Production
- 83.- Biosynthesis of chemical compounds by *Candida albicans* and *Candida glabrata* [Biosíntesis de compuestos químicos por *Candida albicans* y *Candida glabrata*]

- 84.- Development of a biorefinery scheme to produce biofuels from waste cooking oil
- 85.- Biochar-supported nanomaterials for environmental applications
- 86.- Synthesis of activated carbons from black sapote seeds, characterization and application in the elimination of heavy metals and textile dyes
- 87.- Microalgal-nitrifying bacterial consortium for energy-saving ammonia removal from anaerobic digestate of slaughterhouse wastewater
- 88.- Tuning of activity and selectivity of Ni/(Al)SBA-15 catalysts in naphthalene hydrogenation
- 89.- Polymerization of γ -caprolactone with degraded PET for its functionalization
- 90.- Rate-based modelling and simulation of pilot scale distillation column
- 91.- Control analysis of batch reactive distillation column with intermittent fed
- 92.- Chemical and stable isotope composition of surface and groundwater in the surroundings of the Los Humeros Caldera, Puebla, Mexico
- 93.- Heat-Integrated Reactive distillation processes to produce Ethyl Levulinic Acid: Design and Optimization including Environmental, Safety and Economics Aspects
- 94.- Recovery of cobalt from spent lithium-ion mobile phone batteries using liquid–liquid extraction
- 95.- Practical controllability and systematic tuning in a control system of bioethanol purification
- 96.- Similarities between homopolymers and triblock copolymers derived from poly(γ -caprolactone) (PCL) macrodiols (HOPCL-E-PCLOH and HOPCL-PEG-PCLOH) and their poly(ester-ether-urethanes): synthesis and characterization
- 97.- Automated pre-column derivatization with 9-xanthylidole for the determination of ethyl carbamate in food matrices by high performance liquid chromatography with fluorimetric detection
- 98.- Stable IL-activation in an inflammasome signalling model depends on positive and negative feedbacks and tight regulation of protein production
- 99.- Optimization of a shell-and-tube heat exchanger using the grey wolf algorithm
- 100.- Spontaneous trans-Selective Transfer Hydrogenation of Apolar Boron–Boron Double Bonds
- 101.- Design and Optimization of Azeotropic and Extractive Distillation to Purify Furfural Considering Safety, Environmental and Economic Issues.
- 102.- Magnetic activity of the solar-like star HD 140538
- 103.- Synthesis, biological evaluation and docking study of possible antifungal compounds with a coumarin-containing triazole side chain
- 104.- Magnetic activity of the solar-like star HD 140538
- 105.- The life and philosophical context of H. L. A. Hart [H. L. A. Hart: Vida y contexto filosófico]
- 106.- Porfirio Díaz Goes on Tour. Photographic propaganda, production and circulation at the end of the regime: Guanajuato in 1903 [Porfirio Díaz se va de gira. Propaganda, producción y circulación fotográfica en el ocaso del régimen: Guanajuato en 1903]
- 107.- PEDOT/Superoxide Dismutase Electrode Surface Modification for Superoxide Bioelectrochemical Sensing
- 108.- Synthesis of Tris-Heterocycles via a Cascade IMCR/Aza Diels-Alder plus CuAAC Strategy
- 109.- Carbon nanotubes and reduced graphene oxide's dimensionality effect on thermoset matrix performance
- 110.- Human adenovirus type 5 increases host cell fucosylation and modifies Ley antigen expression
- 111.- Adsorption of heavy metals on molybdenum disulfide in water: A critical review
- 112.- Archivos y documentos la “colección acerca del emperador Maximiliano I de México” en la biblioteca nacional de Austria: Manipulación historiográfica
- 113.- Treatment of industrial textile wastewater by the solar photoelectro-Fenton process: Influence of solar radiation and applied current
- 114.- Plasma membrane damage repair is mediated by an acid sphingomyelinase in Entamoeba histolytica
- 115.- Arsenic and hydrated silica removal from groundwater by electrocoagulation using an up-flow reactor in a serpentine array

- 116.- An in vitro characterisation of the *Trichomonas vaginalis* TATA box-binding proteins (TBPs)
- 117.- Anticorrosive properties of PDMS-Silica coatings: effect of methyl, phenyl and amino groups
- 118.- Radio Galaxy Zoo: Unsupervised Clustering of Convolutionally Auto-encoded Radio-astronomical Images
- 119.- Selective Oxidation of N-Glycolylneuraminic Acid Using an Engineered Galactose Oxidase Variant
- 120.- Early science with the Large Millimetre Telescope: new mm-wave detections of circumstellar discs in IC 348 from LMT/AzTEC
- 121.- Polymerization of epsilon-caprolactone with degraded PET for its functionalization
- 122.- Advanced hydrogels for treatment of diabetes
- 123.- C–H<inf>ortho</inf>?Pd interactions in palladium complexes derived from tetrasulfur-difluorinated ligands. Experimental, computational and catalytic studies
- 124.- Biogas production from saline wastewater of the evisceration process of the fish processing industry
- 125.- Alcohol dehydrogenase 1 participates in the Crabtree effect and connects fermentative and oxidative metabolism in the Zygomycete *Mucor circinelloides*
- 126.- Abatement of hydrated silica and simultaneous removal of coexisting ions from deep well water by electrocoagulation using an up-flow reactor
- 127.- Optimally designed reactive distillation processes for eco-efficient production of ethyl levulinate
- 128.- Looking is not seeing: critical essays on the work of Efren Hernandez
- 129.- Parsimonious Modeling of Snow Accumulation and Snowmelt Processes in High Mountain Basins
- 130.- A novel coordination mode of kappa(1)-N-Br-pyridylbenz-(imida, oxa or othia)-zole to Pt(II): synthesis, characterization, electrochemical and structural analysis
- 131.- SOLUBILIZATION AND REMOVAL OF PETROLEUM HYDROCARBONS BY A NATIVE MICROBIAL BIOMASS IN A BUBBLE COLUMN REACTOR
- 132.- A catalog of spectroscopic binary candidate stars derived from a comparison of Gaia DR2 with other radial velocity catalogs
- 133.- Subdelegates and sub-delegations. Intermediate government and territory in the municipalities of New Spain
- 134.- Life experiences that favor the plenitude and transcendence of the elderly being: a phenomenological-hermeneutical study
- 135.- USE OF THE BIOSTIMULATION OF INDIGENOUS MICROBIAL COMMUNITIES TO DEGRADE TOTAL PETROLEUM HYDROCARBONS IN CONTAMINATED SOIL
- 136.- Fluoroquinolone Antibiotics and their Interactions in Agricultural Soils
- 137.- RESPIRACION ARTIFICIAL: THE PROBLEMATIZATION OF THE DISCOURSE OF HISTORY FROM THE ARCHIVE
- 138.- The Whitehead group of (almost) extra-special p-groups with p odd
- 139.- ASSEMBLY AND CONTINUITY IN THE PROTO PRINCIPLES OF SCIENCE OF KNOWLEDGE 1794 AND 1804
- 140.- Food and nutrition security by family agriculture and participatory governance
- 141.- Solvolysis of acrylate-urethane coatings cured by electron-beam and UV radiation
- 142.- Trienamines for the Organocatalytic Synthesis of Nitrogen-Containing Heterocycles
- 143.- Simultaneous design and controllability optimization for the reaction zone for furfural bioproduction
- 144.- Dynamics of Iodine Concentration Changes in the Milk of Dairy Cows
- 145.- Eugenics, Epigenetics, and Obesity Predisposition among Mexican Mestizos
- 146.- A Perspective on the Role of Proteins and Peptides in the Virulence and Pathogenesis
- 147.- Techno-economic analysis of alternative reactive purification technologies in the lactic acid production process.
- 148.- Synthesis of polyfluorenes by oxidative polymerization, their characterization and implementation in organic solar cells
- 149.- Doppler imaging of the hertzsprung gap star ou andromedae



- 150.- On the Mechanisms of Silica (SiO_2) Recovery in Magnetite Ore Low-Magnetic-Drum Concentration
- 151.- Development of a $\text{Co}^{2+}/\text{PMS}$ process involving target contaminant degradation and PMS decomposition
- 152.- Roles of *Bacillus subtilis* RecA, Nucleotide Excision Repair, and Translesion Synthesis Polymerases in Counteracting Cr(VI)-Promoted DNA Damage
- 153.- New antifungal 4-chloro-3-nitrophenyldifluoroiodomethyl sulfone reduces the *Candida albicans* pathogenicity in the *Galleria mellonella* model organism
- 154.- Iodine(III)-Mediated, Controlled Di- or Monoiodination of Phenols
- 155.- Degradation of 3-fluoroaniline by *Rhizobium* sp. JF-3
- 156.- A Simple and Efficient Method for the Partial Synthesis of Pure (3R,3' S)-Astaxanthin from (3R,3' R,6' R)-Lutein and Lutein Esters via (3R,3' S)-Zeaxanthin and Theoretical Study of Their Formation Mechanisms
- 157.- On the Nature of Hydrodynamic Cavitation Process and Its Application for the Removal of Water Pollutants
- 158.- Use of Co/Fe-Mixed Oxides as Heterogeneous Catalysts in Obtaining Biodiesel
- 159.- Characterization and Integrated Process of Pretreatment and Enzymatic Hydrolysis of Corn Straw
- 160.- Ontology and language: truth and meaning on the threshold of the two cultures
- 161.- Operability and Proportional Integral Control of Reactive Distillation Configurations
- 162.- Genesis of a Mexican tourist city at the beginning of the 20th century: the former mining center of Guanajuato
- 163.- Crystal Growth in Gels from the Mechanisms of Crystal Growth to Control of Polymorphism: New Trends on Theoretical and Experimental Aspects
- 164.- Kinetics of the fluoride and arsenic adsorption using alumina nanofibers
- 165.- Expanded granular sludge bed bioreactor in wastewater treatment
- 166.- Synthesis, characterization, and mechanical performance of various functionalized carbon nanotubes-polyurethanes nanocomposites
- 167.- Impact of Cr(VI) on the oxidation of polyunsaturated fatty acids in *Helianthus annuus* roots studied by metabolomic tools
- 168.- Kinetics of the fluoride and arsenic adsorption using alumina nanofibers
- 169.- Development of an oxidative stress sensor in live bacteria using the optimized HyPer2 protein
- 170.- The international sale of goods in an era of global economic instability
- 171.- Human rights for LGBT people and their limitations against the model of normative citizenship
- 172.- An efficient and simple imidazole-hydrazone ligand for palladium-catalyzed Suzuki-Miyaura cross-coupling reactions in water under infrared irradiation
- 173.- THE "COLLECTION ABOUT EMPEROR MAXIMILIAN I OF MEXICO" IN THE NATIONAL LIBRARY OF AUSTRIA: HISTORIOGRAPHICAL MANIPULATION
- 174.- Reactive Distillation Column Design for Tetraethoxysilane (TEOS) Production. Part II: Dynamic Properties and Inherent Safety
- 175.- Diacetylcurcumin: Its Potential Antiarthritic Effect on a Freund's Complete Adjuvant-Induced Murine Model
- 176.- Defining a Practicum in Applied Linguistics through Duoethnography in Order to Comply with the National Postgraduate Audit Culture in Mexico
- 177.- Improving titanium dioxide dispersion in water through surface functionalization by a dicarboxylic acid
- 178.- Dynamic Analysis of Hypar Membrane Structures Subjected to Seismic Excitations
- 179.- Enantiopure 4-oxazolin-2-ones and 4-methylene-2-oxazolidinones as chiral building blocks in a divergent asymmetric synthesis of heterocycles
- 180.- *Trichoderma* Species: Versatile Plant Symbionts
- 181.- Antidiarrheal, vasorelaxant, and neuropharmacological actions of the diterpene tilifodiolide
- 182.- Carbon Nanotubes and Reduced Graphene Oxide's Dimensionality Effect on Thermoset Matrix Performance
- 183.- Synthesis, design and optimization of alternatives to purify 2, 3-Butanediol considering economic, environmental and

safety issues

184.- Lipid-Rich Extract from Mexican Avocado Seed (*Persea americana* var. *drymifolia*) Reduces *Staphylococcus aureus* Internalization and Regulates Innate Immune Response in Bovine Mammary Epithelial Cells

185.- ANTIMICROBIAL ACTIVITY OF MORINGA OLEIFERA AGAINST MULTIDRUG-RESISTANT STAPHYLOCOCCUS AUREUS ISOLATED FROM RAW MILK

186.- Tal6 From *Trichoderma atroviride* Is a LysM Effector Involved in Mycoparasitism and Plant Association

187.- Heterogeneous Catalysis with Basic Compounds to Achieve the Synthesis and C-N Cleavage of Azetidin-2-ones under Microwave Irradiation

188.- Simulations of single-phase flow in an up-flow electrochemical reactor with parallel plate electrodes in a serpentine array

189.- Neuropharmacological effects of d-pinitol and its possible mechanisms of action

190.- Study of Solar Radio Spikes and Their Relation to Energetic Solar Events

191.- Cr(III) removal from tannery effluents using silica obtained from rice husk and modified silica

192.- Philosophical Hermeneutics and the "Correct" Legal Interpretation

193.- The role of calcium and strontium as the most dominant elements during combinations of different alkaline earth metals in the synthesis of crystalline silica-carbonate biomorphs

194.- Transitional Justice As A Mechanism Of Reconciliation In The Colombian State

195.- Effect of chemical modification of titanium dioxide particles via silanization under properties of chitosan/potato-starch films [Efecto de la modificación química de las partículas de dióxido de titanio mediante silanización sobre las propiedades de las películas de chitosan/almidón de papa]

196.- Parameter optimization for the smoothed-particle hydrodynamics method by means of evolutionary metaheuristics

197.- The Good Faith In Contractual Matters In The University Of Guanajuato Internal And External Limits

198.- Synthesis of symmetric ionic liquids and their evaluation of nonlinear optical properties

199.- Incongruent To The Mexican Contitution The Payment Division Tax For State Property Of Public Domain

200.- Matrix effect evaluation and validation of the 2,2'-azino-bis (3-ethylbenzothiazoline-6-sulfonic acid) radical cation scavenging assay, as well as its application using a tejate, an ancient beverage in Mexico

201.- THE CRIMINOLOGICAL IMAGINATION

202.- One-pot synthesis of ZnO–Ag and ZnO–Co nanohybrid materials for photocatalytic applications

203.- Pollutant Removal from Wastewater at Different Stages of the Tanning Process by Electrocoagulation

204.- Tuning the pH-responsiveness capability of poly(acrylic acid-co-itaconic acid)/NaOH hydrogel: Design, swelling, and rust removal evaluation

205.- Congo Red affects the growth, morphology and activity of glucosamine-6-phosphate synthase in the human pathogenic fungus *Sporothrix schenckii*

206.- Diagnostic accuracy of three placement sites for the cold test in subjects amongst different age groups

207.- Flotillin homologue is involved in the swimming behavior of *Escherichia coli*

208.- Computational study of metal complexes formed with EDTA, melatonin, and its main metabolites: implications in lead intoxication and clues to a plausible alternative treatment

209.- Anti-inflammatory and diuretic effects of the diterpene ent-dihydrotucumanic acid

210.- The endemic orchids of Mexico: a review

211.- Parasitic dinoflagellate *hematodinium perezi* prevalence in larval and juvenile blue crabs *callinectes sapidus* from coastal bays of Virginia

212.- Silencing of OCH1 unveils the role of *Sporothrix schenckii* N-linked glycans during the host-fungus interaction

213.- Differential recognition of *Candida tropicalis*, *Candida guilliermondii*, *Candida krusei*, and *Candida auris* by human innate immune cells

214.- Linking entrepreneurial orientation to SMEs' performance: Implications for entrepreneurship universities

215.- Pharmacological Control of Complications Following to Third Molar Removal: Evidence Based on A Meta-Analysis

- 216.- Experimental study on the extractive distillation based purification of second-generation bioethanol
- 217.- Ni(II), Pd(II) and Pt(II) complexes with SacNac tridentate ligand
- 218.- Influence of Nucleic Acids on the Synthesis of Crystalline Ca(II), Ba(II), and Sr(II) Silica-Carbonate Biomorphs: Implications for the Chemical Origin of Life on Primitive Earth
- 219.- Iridium(I) homobinuclear complexes containing salen-type ligands as bridge
- 220.- Influential Factors in the Synthesis of Polymethylhydrogenosiloxane Obtained via Cationic Ring-Opening Polymerization Using Synthetic Silica-Aluminates as Catalysts
- 221.- Incorporating the concept of flexible operation in the design of solar collector fields for industrial applications
- 222.- Damage detection historical building using mapping method in music school of the University of Guanajuato, Mexico
- 223.- Dandy-Walker malformation. The CRIT protocol. A propos of a case [Malformación de Dandy-Walker. Protocolo de intervención en CRIT. A propósito de un caso]
- 224.- Adsorption of aqueous As (III) in presence of coexisting ions by a green Fe-modified W zeolite
- 225.- Determination of sulfonated azo dyes in chili powders by MALDI-TOF MS
- 226.- Latin American contributions to quantum chemical topology
- 227.- Isolation and molecular identification of arsenic resistant microorganisms coming from Xichu River, GTO. Mexico.
- 228.- Simultaneous removal of fluoride and arsenic from groundwater by electrocoagulation using a filter-press flow reactor with a three-cell stack
- 229.- Environmental impact and occupational hazard evaluation on intensified processes to produce diphenyl carbonate
- 230.- Racial bias within the TESOL profession and its implications in the EFL context: Interview with ryuko kubota
- 231.- One- and two-dimensional carbon nanomaterials as adsorbents of cationic and anionic dyes from aqueous solutions
- 232.- Total synthesis of the linear and angular 3-methylated regioisomers of the marine natural product Kealiiquinone and biological evaluation of related Leucetta sp. alkaloids on human breast cancer
- 233.- Nutritional and immunological evaluation of juvenile spiny lobsters Panulirus argus (Latreille, 1804) (Decapoda: Achelata: Palinuridae) naturally infected with the PaV1 virus
- 234.- Polysialic acid is expressed in human naïve CD4+ T cells and is involved in modulating activation
- 235.- Pt supported on mesoporous material for methanol and ethanol oxidation in alkaline medium
- 236.- Mathematical modeling and simulation of the reaction environment in electrochemical reactors
- 237.- Design of plate-fin surfaces for multi-fluid heat exchanger applications
- 238.- Some comments on the paper "Lindenstrauss-Phelps spaces and the optimality of a theorem of Fon"
- 239.- Anisotropic dispersion with a consistent smoothed particle hydrodynamics scheme
- 240.- Porous geopolymers as a possible template for a phase change material
- 241.- Selected topics in scalar-tensor theories and beyond
- 242.- Phytochemical profile of methanolic extracts from Chilca (*Baccharis glutinosa*) roots and its activity against *Aspergillus ochraceus* and *Fusarium moniliforme*
- 243.- Identification of proteins in *Sporothrix schenckii* sensu stricto in response to oxidative stress induced by hydrogen peroxide [Identificación de proteínas en *Sporothrix schenckii* sensu stricto en respuesta al estrés oxidativo inducido por peróxido de hidrógeno]
- 244.- Photocatalytic Degradation of 2,4,6-Trichlorophenol by MgO-MgFe₂O₄ Derived from Layered Double Hydroxide Structures
- 245.- Trichoderma as a Model to Study Effector-Like Molecules
- 246.- Upscaling of W zeolite direct synthesis from coal fly ash and its water adsorption capacity
- 247.- Trichoderma as a Model to Study Effector-Like Molecules
- 248.- Immunomodulatory molecules regulate adhesin gene expression in *Staphylococcus aureus*: Effect on bacterial internalization into bovine mammary epithelial cells
- 249.- Iodine(III)/AIX3-mediated electrophilic chlorination and bromination of arenes. Dual role of AIX3 (X = Cl, Br) for

(PhIO)(n) depolymerization and as the halogen source

250.- Nonordered porous silica-based pure inorganic and hybrid organic-inorganic materials prepared by a nonaqueous, nonthermal sol-gel process

251.- Preparation of Peppermint Oil-Based Nanodevices Loaded with Paclitaxel: Cytotoxic and Apoptosis Studies in HeLa Cells

252.- Proposal for highly efficient electrochemical discoloration and degradation of azo dyes with parallel arrangement electrodes

253.- Identification of potential indicators of time-dependent tequila maturation and their determination by selected ion monitoring gas chromatography-mass spectrometry, using salting-out liquid-liquid extraction

254.- Sulphate Ions Removal from an Abandoned Mine Water using Electrocoagulation. Characterization of the Flocs Originated through Chemical and Morphological Analysis

255.- Does juvenile hormone prompt oxidative stress in male damselflies?

256.- Diuretic activity and neuropharmacological effects of an ethanol extract from Senna septemtrionalis (Viv.) HS Irwin & Barneby (Fabaceae)

257.- Synthesis and characterization of TiO₂-ZnO-MgO mixed oxide and their antibacterial activity

258.- Detrimental Effects of Induced Antibodies on Aedes aegypti Reproduction

259.- Probability of the occurrence of two significant earthquakes on the same date (of different years) striking the same site: The Mexico City Case

260.- Phytoremediation of landfill leachate using vetiver (*Chrysopogon zizanioides*) and cattail (*Typha latifolia*)

261.- Iodine(III)-Mediated, Controlled Di- or Monoiodination of Phenols

262.- Alternatives for the Purification of the Blend Butanol/Ethanol from an Acetone/Butanol/Ethanol Fermentation Effluent

263.- Chitosan/copper nanocomposites: Correlation between electrical and antibacterial properties

264.- Biomineralization and biosynthesis of nanocrystalline materials and selective uptake of toxic metals controlled by five types of *Candida* species

265.- Alternatives for the Purification of the Blend Butanol/Ethanol from an Acetone/Butanol/Ethanol Fermentation Effluent

266.- Silanization of di-n-octyldichlorosilane as a route to improve the integration of titanium dioxide in polypropylene

267.- Indicators of Academic Performance as Predictors of Financial-Resource Raising

268.- Silanization of di-n-octyldichlorosilane as a route to improve the integration of titanium dioxide in polypropylene

269.- Silanization of di-n-octyldichlorosilane as a route to improve the integration of titanium dioxide in polypropylene

270.- Silanization of di-n-octyldichlorosilane as a route to improve the integration of titanium dioxide in polypropylene

271.- The Creation Process in Digital Art

272.- New urban inequalities: The global appropriation of heritage in Mexican historical centers [Nuevas desigualdades urbanas: La apropiación global del patrimonio en los centros históricos Mexicanos]

273.- Co-sensitized TiO₂ electrodes with different quantum dots for enhanced hydrogen evolution in photoelectrochemical cells

274.- Seed germination and population structure of two endangered tree species: *Magnolia perezfarrerae* and *Magnolia sharpii*

275.- Mechanosynthesis of photochromic oligophenylenimines: Optical, electrochemical and theoretical studies

276.- Homogeneous hydrogels made with acrylic acid, acrylamide and chemically functionalized carbon nanotubes

277.- Morphology and reproductive patterns of an assemblage of anurans from the Chihuahuan Desert Region, Mexico

278.- Influence of the surface modification of titanium dioxide nanoparticles TiO₂ under efficiency of silver nanodots deposition and its effect under the properties of starch-chitosan (SC) films

Ponencias

1.- Piaget's theory in action: Didactic strategies to promote metacognition to develop mathematical reasoning in children

2.- Global Competence in Guanajuato teenagers

- 3.- The perception of autonomy and authority on adolescents, related to stress manifestations and personal agency beliefs patterns.
- 4.- Piaget's theory strategies to promote metacognition to develop mathematical reasoning in children
- 5.- La importancia de materias de expresión oral y escrita dentro de las ingenierías.
- 6.- Los jóvenes y el sentido del contexto familiar, académico e institucional en el Telebachillerato
- 7.- La valoración de los estudiantes sobre Telebachilleratos Comunitarios en Guanajuato.
- 8.- Guante número siete: cambios y continuidades en las prácticas laborales del sector salud en el estado de Guanajuato en el periodo de 1980 a 2012
- 9.- Direct and Indirect Evolutionary Designs of Artificial Neural Networks.
- 10.- Comparative analysis of multi-objective meta-heuristic algorithms by means of performance metrics to continuous problems.
- 11.- Obreros Guanajuatenses: la historia laboral de una mujer en la refinería Ing. Antonio M. Amor en Salamanca, Guanajuato, 1980-2015
- 12.- Desempeño Termo-Hidráulico de Redes de Enfriamiento.
- 13.- Optimization of a shell-and-tube heat exchanger using the grey wolf algorithm.
- 14.- Repercusión de las cargas de trabajo en la satisfacción de los empleados
- 15.- Estudio de la Dispersión de Partículas de Dióxido de Titanio (TiO₂) en Polimetilmetacrilato.
- 16.- Desarrollo Comunitario mediante Negocios Inclusivos ¿una opción para la Región Bajío de Guanajuato?
- 17.- Characterization of Tropical Soil Bacteria Resistant to Enrofloxacin and Sulfadimethoxine.
- 18.- Impacto Económico del Gran Premio de la Fórmula 1 en México, su posible cancelación ¿capricho presidencial o verdadera austeridad?
- 19.- La Identidad Universitaria en México: Retos y Oportunidades. El caso de la Universidad de Guanajuato
- 20.- Automotive Cluster and Territorial Development: The Case of the Bajío in Guanajuato México.
- 21.- Aportaciones de la minería en la economía mexicana: correlación con el PIB 1970-2016
- 22.- La Responsabilidad Social en las Organizaciones Educativas, Caso: Distintivo de Buenas Prácticas Ambientales en la Universidad de Guanajuato
- 23.- Análisis de la Seguridad de la Información en las Instituciones Educativas Públicas de Nivel Superior
- 24.- Mineral del Chico, Hidalgo; pueblo minero mexicano.
- 25.- León, inundación de 1888: panorama general y reconstrucción de la urbe
- 26.- Students' perceptions of the affective variables associated with speaking English as a foreign language in a private university in central Mexico.
- 27.- Ética organizacional ¿el primer paso para las organizaciones sustentables?.
- 28.- El entorno en América Latina en incidentes de seguridad de la información.
- 29.- Condiciones Laborales de las Mujeres Madres Trabajadoras Caso SIMAPAG.
- 30.- Guanajuato a la Carta: El distintivo de la tradición
- 31.- Administración SIMAPAG con el uso de ecotecnias optimizando el recurso hídrico.
- 32.- Revista Los demonios y los días
- 33.- Los demonios y los días.
- 34.- La influencia de los ideales de la Revolución Francesa y el desarrollo de las revueltas de esclavos en la Revolución de Saint Domingue (1791-1795).
- 35.- Acercamientos a la Antropología Filosófica en América Latina: Hacia una Identidad Epistemológica.
- 36.- Prácticas de profesionalización para el desarrollo de competencias en estudiantes de la DCEA, Universidad de Guanajuato.
- 37.- Teaching practices that EFL teachers use in class to promote English language learning: The role of Spanish in the classroom

- 38.- Los proyectos productivos para mujeres deben estar enfocados en la industria 4.0
- 39.- Tratamiento de lixiviados con alto contenido de cromo hexavalente con Nanopartículas de magnetita
- 40.- Modelling and Simulation of an Electrochemical Reactor using a Flow-by Porous Electrode for the Electrosynthesis of Hydrogen Peroxide
- 41.- 703 Soporte de TiO₂ (DEGUSSA P-25) en membranas poliméricas de PVDF y su aplicación en la degradación de colorantes
- 42.- Caracterización de bacterias del suelo tropical resistentes a la enrofloxacina y la sulfadimetoxina
- 43.- Contribuciones al mejoramiento de la formación de Educadores Musicales mediante la Pedagogía Waldorf
- 44.- Degradation of Acid Violet 19 Dye by Electro-Peroxone Process in a Flow Plant
- 45.- Descifrando la dinámica de gestión del gasto público de la ciudad de Guanajuato en materia turismo. Notas para un mejor aprovechamiento de los recursos
- 46.- Determination of absorbed dose in eye lens due to therapy of I-131 using MCNP5
- 47.- Electrochemical Incineration of the Methyl Orange Textile Dye by Photoelectro-Fenton Process
- 48.- Electrogeneration of hypochlorous acid via chloride oxidation on Ir-Sn-Sb oxide anode in a filter-press-type reactor
- 49.- Estructura -propiedad de polí(éster uretanos) (PEUs): Efecto de dióles alifáticos lineales [HO(CH₂mOH)] utilizados como extendedores de cadena
- 50.- Estudio sistemático de macrodióles y polí(éster-uretanos) derivados de polí(caprolactona) a,w-hidroxi telequérica (HOPCLOH) con diferentes grupos alquil (CH₂CH₂)_m, grados de polimerización y disocianatos, síntesis y caracterización
- 51.- Estudio teórico-computacional de la Gentamicina y su posible receptor de la megalina
- 52.- Ética organizacional ¿El primer paso para las organizaciones sustentables?
- 53.- Evaluación antioxidante del extracto Rhus aromática var Triolbata
- 54.- Evaluación de la aplicación de bacterias anaerobias fototróficas purpura para la remoción de contaminantes de aguas residuales de los rastros: efecto de la radiación infrarroja
- 55.- Evaluación de materiales polisiloxanos con propiedades conductoras de iones para su aplicación en sistemas de almacenamiento de energía
- 56.- Feasibility of DDT degradation by bacteria isolated from pesticide-contaminated site in Salamanca city, México: analytical study
- 57.- Global competence in Guanajuato teenagers
- 58.- Globalization, Culture & Development: Insights and alternatives in the contemporary world
- 59.- Guiturales como técnica vocal extendida
- 60.- Incorporación de nanopartículas de ZnO en matrices poliméricas como protector de UV
- 61.- Ir (I) and Ir (III) complexes with SacNac ligands. Synthesis, Characterization and Reactivity
- 62.- Isolation and molecular identification of arsenic resistant microorganisms coming from Xichú River, Gto, México
- 63.- La responsabilidad social en las organizaciones educativas. Caso: Distintivo de buenas prácticas ambientales en la Universidad de Guanajuato
- 64.- La sociabilidad juvenil en los telebachilleratos comunitarios de México
- 65.- León, inundación de 1888: Panorama general y la reconstrucción de la urbe
- 66.- Liquid extraction of RH (III) using aqueous two phase systems
- 67.- Obtención de biodiesel a partir del aceite de soya
- 68.- Obtención de Polí(éster-uretanos) derivados de macrodióles a, w-telequéticos de PVL, variando el tipo de iniciador en la ROP de la VL
- 69.- Piaget's theory in action: Didactic strategies to promote metacognition to develop mathematical reasoning in children
- 70.- Prácticas de profesionalización para el Desarrollo de Competencias en estudiantes de la DCEA, Universidad de Guanajuato
- 71.- Preparation of graphite-like carbon nitride g-C₃N₄/Ag (Nanosheets and Nanorods) Film for photoelectrochemical

sensing of H₂O2

72.- Problemas de los adolescentes que inciden en el riesgo a cometer conductas violentas

73.- Rate-based modelling and simulation of pilot scale distillation column

74.- Relación entre la carga de trabajo y la satisfacción laboral

75.- Remoción del ion cúprico mediante el uso de Lactuca sativa y Lycopersicon sp

76.- Respuestas Latinoamericanas a los Desafíos de la Administración Pública

77.- Respuestas Latinoamericanas a los Desafíos de la Administración Pública

78.- Síntesis de puntos cuánticos con propiedades fotoluminiscentes para luz blanca

79.- Students' perceptions of the affective variables associated with speaking English as a foreign language in a private university in central México

80.- The Development of EFL Learners' Writing Fluency and Accuracy: The Effects of Narrative Tasks at the University of Guanajuato, México

Memorias

No se han agregado Memorias

Patentes

1.- PROCESO PARA LA PRODUCCIÓN DE TETRAETOXISILANO VÍA TETRACLORURO DE SILICIO EN UN EQUIPO DE REACCIÓN-SEPARACIÓN.

2.- REACTOR DE ELECTROCOAGULACIÓN DE FLUJO ASCENDENTE PARA LA REMOCIÓN DE ARSÉNICO, FLÚOR, Y SILICA HIDRATADA CONTENIDOS EN AGUA.

3.- BLINDAJE DE BAJO COSTO UTILIZANDO RESINAS Y FIBRAS NATURALES.

12.- Otros aspectos



Dr. Luis Felipe Guerrero Agripino

Rector General



DRA. TERESITA DE JESÚS RENDÓN
HUERTA BARRERA

Responsable del proyecto

